

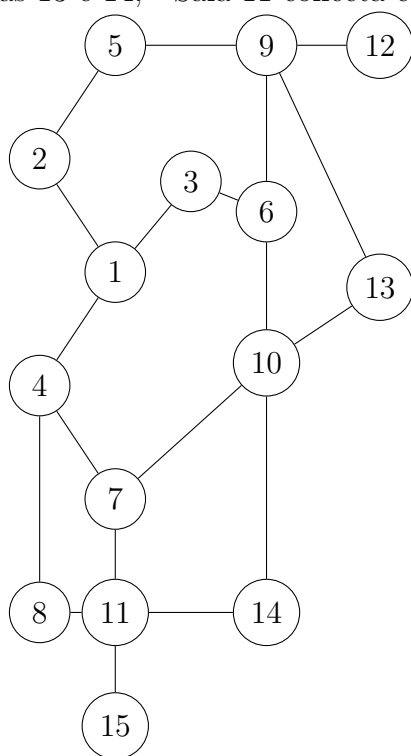
## Atividade Avaliativa 4

### 1. Expedição à Caverna Perdida com Busca em Largura (BFS)

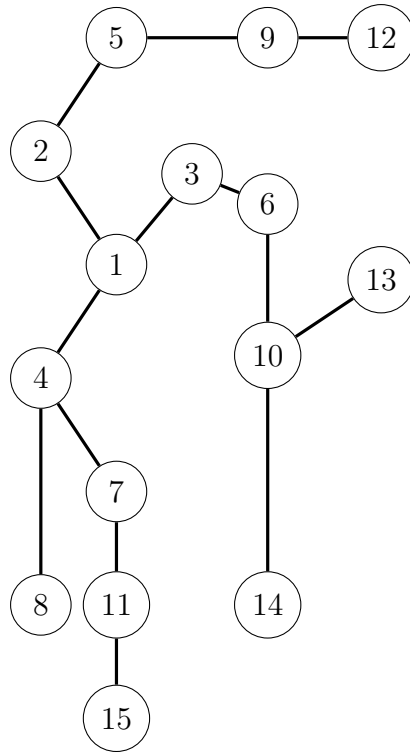
#### a) Estrutura da Caverna: grafo não-direcionado

A caverna é composta por 15 salas conectadas por túneis, de acordo com o seguinte mapeamento (*cada sala é um vértice, cada túnel é uma aresta não-direcionada*):

- Sala 1 (Entrada) conecta com as salas 2, 3 e 4; - Sala 2 conecta com a sala 5; - Sala 3 conecta com a sala 6; - Sala 4 conecta com as salas 7 e 8; - Sala 5 conecta com a sala 9; - Sala 6 conecta com as salas 9 e 10; - Sala 7 conecta com as salas 10 e 11; - Sala 8 conecta com a sala 11; - Sala 9 conecta com as salas 12 e 13; - Sala 10 conecta com as salas 13 e 14; - Sala 11 conecta com as salas 14 e 15 (Câmara Secreta).



$i$	$u =$ $\text{pop}(Q)$	$V' = \{v \in$ $N(u)   v.\text{color} = \text{WHITE}\}$	$\lambda(v)$	$\pi(v)$
0	1	$\{2, 3, 4\}$	$\lambda(2) = \lambda(1) + 1 = 1$ $\lambda(3) = \lambda(1) + 1 = 1$ $\lambda(4) = \lambda(1) + 1 = 1$	$\pi(2) = 1$ $\pi(3) = 1$ $\pi(4) = 1$
1	2	$\{5\}$	$\lambda(5) = \lambda(2) + 1 = 2$	$\pi(5) = 2$
2	3	$\{6\}$	$\lambda(6) = \lambda(3) + 1 = 2$	$\pi(6) = 3$
3	4	$\{7, 8\}$	$\lambda(7) = \lambda(4) + 1 = 2$ $\lambda(8) = \lambda(4) + 1 = 2$	$\pi(7) = 4$ $\pi(8) = 4$
4	5	$\{9\}$	$\lambda(9) = \lambda(5) + 1 = 3$	$\pi(9) = 5$
5	6	$\{10\}$	$\lambda(10) = \lambda(6) + 1 = 3$	$\pi(10) = 6$
6	7	$\{11\}$	$\lambda(11) = \lambda(7) + 1 = 3$	$\pi(11) = 7$
7	8	$\emptyset$	—	—
8	9	$\{12, 13\}$	$\lambda(12) = \lambda(9) + 1 = 4$ $\lambda(13) = \lambda(9) + 1 = 4$	$\pi(12) = 9$ $\pi(13) = 9$
9	10	$\{14\}$	$\lambda(14) = \lambda(10) + 1 = 4$	$\pi(14) = 10$
10	11	$\{15\}$	$\lambda(15) = \lambda(11) + 1 = 4$	$\pi(15) = 11$
11	12	$\emptyset$	—	—
12	13	$\emptyset$	—	—
13	14	$\emptyset$	—	—
14	15	$\emptyset$	—	—



**BFS-TREE**

Passo	Fila
$Q^{(0)}$	[1]
$Q^{(1)}$	[2, 3, 4]
$Q^{(2)}$	[3, 4, 5]
$Q^{(3)}$	[4, 5, 6]
$Q^{(4)}$	[5, 6, 7, 8]
$Q^{(5)}$	[6, 7, 8, 9]
$Q^{(6)}$	[7, 8, 9, 10]
$Q^{(7)}$	[8, 9, 10, 11]
$Q^{(8)}$	[9, 10, 11]
$Q^{(9)}$	[10, 11, 12, 13]
$Q^{(10)}$	[11, 12, 13, 14]
$Q^{(11)}$	[12, 13, 14, 15]
$Q^{(12)}$	[13, 14, 15]
$Q^{(13)}$	[14, 15]
$Q^{(14)}$	[15]
$Q^{(15)}$	$\emptyset$

## b) Complexidade Computacional da Busca em Largura

A análise da complexidade da BFS clássica em um grafo com  $n$  vértices e  $m$  arestas segue abaixo.

- **Inicialização:** Para colorir e inicializar todos os  $n$  vértices, o custo é  $O(n)$ . - **Exploração das arestas:** Para cada vértice removido da fila, percorremos cada um dos seus vizinhos. Como o grafo é não-direcionado, cada aresta é examinada no máximo duas

vezes (uma por extremidade). Portanto, o custo total para esse processo é  $O(m)$ . - **Fila:** Cada vértice entra e sai da fila ao menos uma vez, custo  $O(n)$ .

Assim, o custo total da BFS pode ser expresso por:

$$T(n, m) = O(n) + O(m) = O(n + m)$$

ou seja, linear em relação à soma do número de vértices e arestas do grafo.

### c) Prova de que BFS Calcula as Menores Distâncias em Grafos Não Ponderados

**Teorema:** Executando BFS a partir de um vértice  $s$ , ao terminar tem-se  $\lambda(v) = d(s, v)$  para todo vértice  $v$ , onde  $d(s, v)$  é a menor distância (mínimo número de arestas) entre  $s$  e  $v$ .

**Demonstração por contradição:**

1. Suponha que exista  $v \in V$  tal que, ao ser removido da fila  $Q$  pela primeira vez, temos  $\lambda(v) > d(s, v)$ , e que  $v$  seja o primeiro nó para o qual essa desigualdade ocorre.
2. Como  $d(s, v) < \infty$ , existe caminho mínimo  $P$  de  $s$  a  $v$ . Seja  $u$  o vértice imediatamente anterior a  $v$  nesse caminho (ou seja, o predecessor de  $v$  em  $P$ ).
3. Por definição de caminho mínimo, tem-se  $d(s, v) = d(s, u) + 1$ .
4. Quando  $u$  foi removido da fila, a aresta  $(u, v)$  foi considerada. Assim, apenas três possibilidades podem ocorrer quanto à cor de  $v$ :
  - **(i)  $v$  estava BRANCO:**  $\lambda(v)$  seria atualizado para  $\lambda(u) + 1 = d(s, u) + 1 = d(s, v)$ , o que contradiz a hipótese de  $\lambda(v) > d(s, v)$ .
  - **(ii)  $v$  estava PRETO:**  $v$  já saiu da fila antes de  $u$ , então necessariamente  $\lambda(v) \leq \lambda(u)$ , logo  $\lambda(v) < \lambda(u) + 1 = d(s, v)$ , o que é absurdo.
  - **(iii)  $v$  estava CINZA:**  $v$  já foi descoberto anteriormente por algum  $w$  removido antes de  $u$ , logo  $\lambda(v) \leq \lambda(w) + 1 \leq \lambda(u) + 1 = d(s, v)$ .
5. Nenhuma dessas hipóteses resulta em  $\lambda(v) > d(s, v)$ .

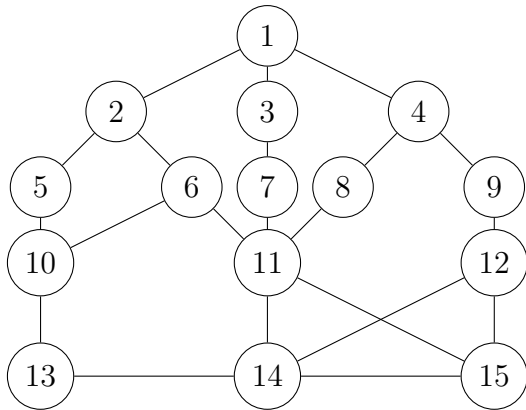
Portanto, por absurdo, sempre  $\lambda(v) = d(s, v)$  ao retirar  $v$  da fila, mostrando que BFS constrói corretamente a árvore de caminhos mínimos em grafos não ponderados.

## 2. Resgate na Estação Espacial com Busca em Profundidade (DFS)

### a) Estrutura da Estação Espacial

A estação é composta por 15 módulos interconectados por corredores. Cada módulo é representado por um vértice e cada ligação, por uma aresta não-direcionada. Os módulos e suas interligações são:

- Módulo 1 (Sala de Controle) conecta com os módulos 2, 3 e 4. - Módulo 2 conecta com os módulos 5 e 6. - Módulo 3 conecta com o módulo 7. - Módulo 4 conecta com os módulos 8 e 9. - Módulo 5 conecta com o módulo 10. - Módulo 6 conecta com os módulos 10 e 11. - Módulo 7 conecta com o módulo 11. - Módulo 8 conecta com o módulo 11. - Módulo 9 conecta com o módulo 12. - Módulo 10 conecta com o módulo 13. - Módulo 11 conecta com os módulos 14 e 15 (Sala de Suporte Vital). - Módulo 12 conecta com os módulos 14 e 15. - Módulo 13 conecta com o módulo 14. - Módulo 14 conecta com o módulo 15.

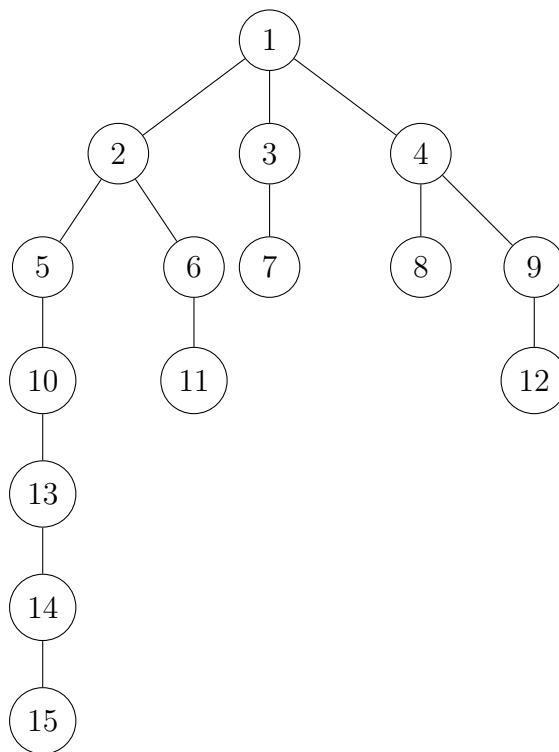


#### Ordem de acesso aos vértices (com detalhes de DFS)

u	u.color	u.d	$V' = \{v \in N(u) \mid v.color = WHITE\}$	$\pi(v)$	u.f
1	gray	1	{2, 3, 4}	—	30
2	gray	2	{5, 6}	1	17
5	gray	3	{10}	2	12
10	gray	4	{13}	5	11
13	gray	5	{14}	10	10
14	gray	6	{15}	13	9
15	gray	7	$\emptyset$	14	8
6	gray	13	{11}	2	16
11	gray	14	$\emptyset$	7	15
3	gray	18	{7}	1	21
7	gray	19	$\emptyset$	3	20
4	gray	22	{9, 8}	1	29
8	gray	23	$\emptyset$	4	24
9	gray	25	{12}	4	28
12	gray	26	$\emptyset$	9	27

## Pilha

Pilha
12
9
8
4
7
3
11
6
15
14
13
10
5
2
1



## b) Análise Matemática da Complexidade do DFS

O algoritmo DFS em um grafo com  $n$  vértices e  $m$  arestas funciona de maneira recursiva, explorando completamente cada vértice antes de voltar ao anterior. Vamos detalhar o custo:

- **Inicialização:** Marcar todos os  $n$  vértices como não visitados, custo  $O(n)$ .
- **Chamada Recursiva:** Para cada vértice, ao ser descoberto, percorrer a lista de vizinhos.
- **Visitação de Arestas:** Como cada aresta (em grafo não direcionado) aparece

duas vezes (uma para cada extremidade), o total de iterações sobre todos os vizinhos dos vértices é  $2m$ .

Assim, durante toda execução, - cada vértice é visitado exatamente uma vez, - cada aresta é considerada no máximo duas vezes.

Logo, o tempo total é dominado pelo número de vértices mais o número de arestas:

$$T(n, m) = O(n) + O(m) = O(n + m)$$

Isto significa que, para grafos esparsos (quando  $m$  está próximo de  $n$ ), o DFS é extremamente eficiente, escalando linearmente conforme cresce a entrada.

### 3. Resgate em uma Cidade Inundada com Dijkstra

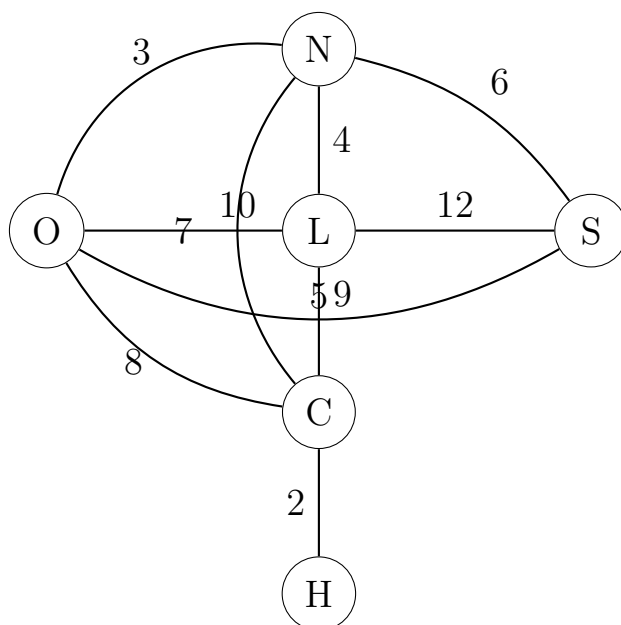
#### a) Estrutura do Problema e Descrição do Grafo

A cidade é composta por seis bairros e cada um é representado por um vértice. As ruas conectando os bairros são arestas ponderadas, cujo peso indica o tempo, em minutos, necessário para atravessar aquela rua. A conexão entre Bairro Sul (5) e o Hospital (6) encontra-se bloqueada e, portanto, não pode ser utilizada no cálculo dos caminhos.

As conexões possíveis e respectivos tempos são:

- Centro (1) se conecta a Bairro Norte (2) em 10 min; - Centro (1) se conecta a Bairro Leste (3) em 5 min; - Centro (1) se conecta a Bairro Oeste (4) em 8 min; - Bairro Norte (2) se conecta a Bairro Oeste (4) em 3 min; - Bairro Norte (2) se conecta a Bairro Sul (5) em 6 min; - Bairro Leste (3) se conecta a Bairro Oeste (4) em 7 min; - Bairro Leste (3) se conecta a Bairro Sul (5) em 12 min; - Bairro Leste (3) se conecta a Bairro Norte (2) em 4 min; - Bairro Oeste (4) se conecta a Bairro Sul (5) em 9 min; - Bairro Oeste (4) se conecta ao Hospital (6) em 2 min.

Destaca-se novamente: a rua entre Bairro Sul (5) e o Hospital (6) está bloqueada, sendo a aresta desconsiderada.



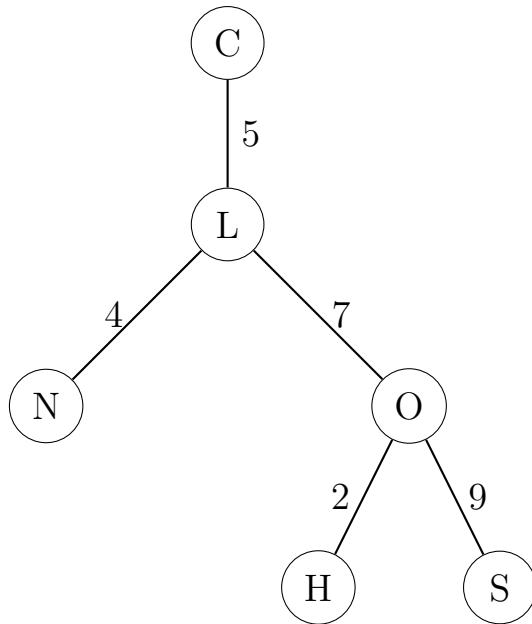
	C	N	L	O	S
$\lambda(0)(v)$	0	$\infty$	$\infty$	$\infty$	$\infty$
$\lambda(1)(v)$	0	10	5	8	$\infty$
$\lambda(2)(v)$	0	10	5	8	16
$\lambda(3)(v)$	0	9	5	8	16
$\lambda(4)(v)$	0	9	5	8	16

U	$V' = \{v \in N(u) \wedge v \in Q\}$	$\lambda(v), \forall v \in V'$	$\pi(v)$
C	{N, L, O}	$\lambda(N)=\min(\lambda(N), \lambda(C)+w(U,N))=\min(\infty,0+10)=10$ $\lambda(L)=\min(\lambda(L), \lambda(C)+w(U,L))=\min(\infty,0+5)=5$ $\lambda(O)=\min(\lambda(O), \lambda(C)+w(U,O))=\min(\infty,0+8)=8$	$\pi(N) = C$ $\pi(L) = C$ $\pi(O) = C$
N	{O,S}	$\lambda(O)=\min(\lambda(O), \lambda(N)+w(N,O))=\min(8,10+3)=8$ $\lambda(S)=\min(\lambda(S), \lambda(N)+w(N,S))=\min(\infty,10+6)=16$	$\pi(O) = N$ $\pi(S) = N$
L	{O, S, N}	$\lambda(O)=\min(\lambda(O), \lambda(L)+w(L,O))=\min(8,5+7)=8$	$\pi(O) = L$

U	$V' = \{v \in N(u) \wedge v \in Q\}$	$\lambda(v), \forall v \in V'$	$\pi(v)$
		$\lambda(S)=\min(\lambda(S), \lambda(L)+w(L,S))=\min(16,5+12)=16$ $\lambda(N)=\min(\lambda(N), \lambda(L)+w(L,N))=\min(10,5+4)=9$	$\pi(S) = L$ $\pi(N) = L$
O	{S, H}	$\lambda(S)=\min(\lambda(S), \lambda(O)+w(O,S))=\min(16,8+9)=16$ $\lambda(H)=\min(\lambda(H), \lambda(O)+w(O,H))=\min(\infty,8+2)=10$	$\pi(S) = O$ $\pi(H) = O$
S	-	-	-
H	-	-	-

v	C	N	L	O	S
H					
$\pi(v)$	—	L	C	C	O
O					
$\lambda(v)$	0	9	5	8	16
10					





## b) Análise da Complexidade Computacional do Dijkstra

### (i) Implementação com fila de prioridades simples (array):

- Inicialização de distâncias:  $O(n)$ . - Em cada iteração do while, busca pelo menor valor  $\lambda$  na fila, o que custa  $O(n)$ , repetido  $n$  vezes:  $O(n^2)$ . - As operações de relaxamento, atualização e inserção podem ser feitas em tempo constante ou linear na vizinhança. - No todo, temos  $T(n) = O(n^2) + O(m) = O(n^2)$ , pois  $O(n^2)$  domina para grandes  $n$ .

### (ii) Implementação com min-heap:

- Inicialização:  $O(n)$ . - Cada operação de inserção ou extração do menor elemento no heap custa  $O(\log n)$ . - As operações de **ExtractMin** e **DecreaseKey** sobre todos os vértices e arestas, respectivamente, custam  $O(n \log n)$  e  $O(m \log n)$ . - Assim, totalizando  $T(n) = O(n \log n) + O(m \log n) = O(m \log n)$ .

**Conclusão:** Para grafos grandes, a implementação com min-heap é preferível, especialmente quando o número de arestas  $m$  é próximo de  $n$  (grafos esparsos). A versão com array só é prática para grafos muito pequenos.

## c) Prova de Correção: Dijkstra Computa Caminhos Mínimos em Grafos com Pesos Não Negativos

Seja  $G = (V, E)$  com pesos  $w(u, v) \geq 0$  para quaisquer arestas. Queremos provar que, ao final da execução do Dijkstra a partir de  $s$ , temos, para todo  $v \in V$ ,  $\lambda(v) = d(s, v)$ , onde  $d(s, v)$  é a distância geodésica.

**Base da indução:** O primeiro vértice extraído é a própria fonte  $s$ , para o qual  $\lambda(s) = 0 = d(s, s)$ , portanto a base é satisfeita.

**Hipótese da indução:** Assuma que, após  $k$  extrações, para todo vértice já retirado,  $\lambda(u) = d(s, u)$ .

**Passo da indução:** Seja  $v$  o próximo vértice a sair da fila. Por absurdo, suponha que  $\lambda(v) > d(s, v)$ . Considere um caminho ótimo de  $s$  até  $v$  usando os vértices  $s = v_0, v_1, \dots, v_k = v$ , e suponha que algum intermediário  $v_i$  está ainda na fila quando seu antecessor  $v_{i-1}$  foi retirado. Quando  $v_{i-1}$  foi removido, a aresta  $(v_{i-1}, v_i)$  foi relaxada,

então:

$$\lambda(v_i) \leq \lambda(v_{i-1}) + w(v_{i-1}, v_i)$$

Mas  $\lambda(v_{i-1}) = d(s, v_{i-1})$  (hipótese), então

$$\lambda(v_i) \leq d(s, v_{i-1}) + w(v_{i-1}, v_i) = d(s, v_i) .$$

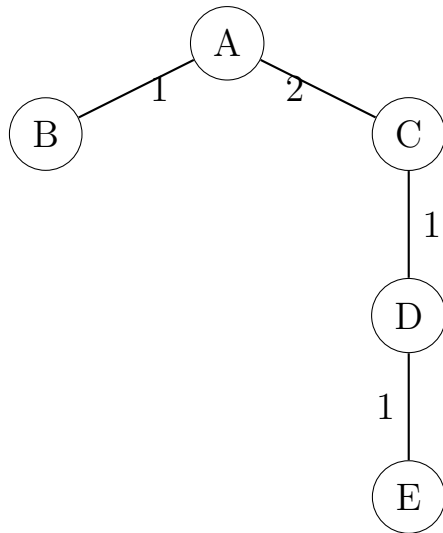
Seguindo este raciocínio pelo caminho mínimo, chegamos a  $\lambda(v) \leq d(s, v)$ , que contradiz a hipótese inicial. Portanto, remove-se da fila exatamente no momento em que  $\lambda(v) = d(s, v)$ .

Em conclusão, ao final da execução do algoritmo, todos os  $\lambda(v)$  obtidos correspondem às menores distâncias de  $s$  até  $v$ , demonstrando a correção do Dijkstra em grafos com pesos não negativos.

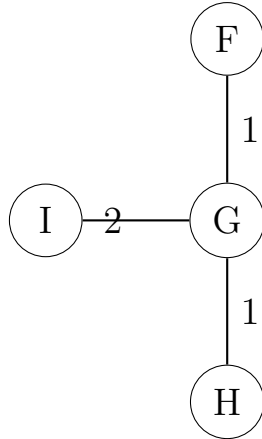
## 4. Sistema de Navegação de Drones com Dijkstra Multisource

	A	B	C	D	E	F	G	H	I
$\lambda(0)(v)$	0	$\infty$	$\infty$	$\infty$	$\infty$	$\infty$	$\infty$	0	$\infty$
$\lambda(1)(v)$	0	1	2	$\infty$	$\infty$	$\infty$	$\infty$	0	$\infty$
$\lambda(2)(v)$	0	1	2	$\infty$	$\infty$	5	1	0	4
$\lambda(3)(v)$	0	1	2	$\infty$	$\infty$	3	1	0	4
$\lambda(4)(v)$	0	1	2	$\infty$	6	2	1	0	3
$\lambda(5)(v)$	0	1	2	3	5	2	1	0	3
$\lambda(6)(v)$	0	1	2	3	5	2	1	0	3
$\lambda(7)(v)$	0	1	2	3	4	2	1	0	3

U	$V' = \{v \in N(u) \mid \wedge v \in Q\}$	$\lambda(v), \forall v \in V'$	$\pi(v)$
A	$\{B, C\}$	$\lambda(B)=\min(\lambda(B),$ $\lambda(A)+w(A,B))=\min(\infty,0+1)=1$ $\lambda(C)=\min(\lambda(C),$ $\lambda(A)+w(A,C))=\min(\infty,0+2)=2$	$\pi(B) = A$ $\pi(C) = A$
H	$\{I, F, G\}$	$\lambda(I)=\min(\lambda(I),$ $\lambda(H)+w(H,I))=\min(\infty,0+4)=4$ $\lambda(F)=\min(\lambda(F),$ $\lambda(H)+w(H,F))=\min(\infty,0+5)=5$ $\lambda(G)=\min(\lambda(G),$ $\lambda(H)+w(H,G))=\min(\infty,0+1)=1$	$\pi(I) = H$ $\pi(F) = H$ $\pi(G) = H$
B	$\{C, F\}$	$\lambda(C)=\min(\lambda(C),$ $\lambda(B)+w(B,C))=\min(2,1+4)=2$ $\lambda(F)=\min(\lambda(F),$ $\lambda(B)+w(B,F))=\min(5,1+2)=3$	$\pi(C) = A$ $\pi(F) = B$
G	$\{I, F, E\}$	$\lambda(I)=\min(\lambda(I),$ $\lambda(G)+w(G,I))=\min(4,1+2)=3$ $\lambda(F)=\min(\lambda(F),$ $\lambda(G)+w(G,F))=\min(3,1+1)=2$ $\lambda(E)=\min(\lambda(E),$ $\lambda(G)+w(G,E))=\min(\infty,1+5)=6$	$\pi(I) = G$ $\pi(F) = G$ $\pi(E) = G$
C	$\{D, E\}$	$\lambda(D)=\min(\lambda(D),$ $\lambda(C)+w(C,D))=\min(\infty,2+1)=3$ $\lambda(E)=\min(\lambda(E),$ $\lambda(C)+w(C,E))=\min(6,2+3)=5$	$\pi(D) = C$ $\pi(E) = C$
F	$\{D\}$	$\lambda(D)=\min(\lambda(D),$ $\lambda(F)+w(F,D))=\min(3,2+3)=3$	$\pi(D) = C$
D	$\{E\}$	$\lambda(E)=\min(\lambda(E),$ $\lambda(D)+w(D,E))=\min(5,3+1)=4$	$\pi(E) = D$
E	$\emptyset$	—	—
I	$\emptyset$	—	—



**Peso Total: 5**



**Peso Total: 4**

Os tempos de entrega para os pontos F, G e I, anteriormente atendidos por H, seriam impactados da seguinte forma:

- **Ponto F:** O tempo de entrega aumentaria de 2 minutos para 3 minutos (rota  $A \rightarrow B \rightarrow F$ ), representando um acréscimo de +1 minuto.
- **Ponto G:** O tempo de entrega passaria de 1 minuto para 4 minutos (rota  $A \rightarrow B \rightarrow F \rightarrow G$ ), resultando em um aumento de +3 minutos.
- **Ponto I:** O tempo de entrega subiria de 3 minutos para 6 minutos (rota  $A \rightarrow B \rightarrow F \rightarrow G \rightarrow I$ ), com um acréscimo de +3 minutos.

Portanto, a falha do centro H resultaria em um aumento significativo nos tempos de voo para os pontos afetados, além de uma considerável elevação da carga logística sobre o centro A.